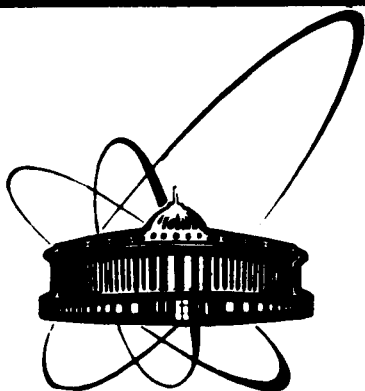


89-125



70

ОБЪЕДИНЕННЫЙ
ИНСТИТУТ
ЯДЕРНЫХ
ИССЛЕДОВАНИЙ
ДУБНА

Б 21

Р4-89-125

Е.Б.Бальбуцев, С.И.Баструков*, И.Н.Михайлов,
В.П.Синичкин*, Л.Ш.Шехтер*

ВИБРАЦИОННЫЕ 1^{+-} , 2^{+-} , 3^{+-} И 4^{+-} -ВОЗБУЖДЕНИЯ
В СФЕРИЧЕСКИХ ЯДРАХ

Направлено в журнал "Ядерная физика"

*Саратовский государственный университет

1989

1. ВВЕДЕНИЕ

Развитый в работах ^{/1-3/} метод моментов применяется здесь для изучения коллективных 1^+ , 2^+ , 3^+ и 4^+ -возбуждений атомных ядер. При этом кроме очевидного намерения описать свойства гигантских резонансов более высокой мультипольности преследуются еще по меньшей мере две цели.

Во-первых, опыт расчета квадрупольных и октупольных возбуждений показывает, что по мере увеличения ранга тензоров, привлекаемых для расчетов, уравнения метода наряду с гигантскими резонансами дают и низколежащие моды. В этой работе мы решаем уравнения для тензоров 4-го ранга, поэтому имеются все основания ожидать появления низколежащих 2^+ -состояний. Известно, что такие состояния не получаются в методе фазового пространства /МФП/, по крайней мере без специальных его усовершенствований ^{/4-6/}, но давно уже известны в RPA-расчетах ^{/7,8/} и в ТКФС ^{/9/}. Тем более интересна эта проблема с точки зрения нашего метода, имеющего много общего как с МФП, так и с RPA.

Заметим в этой связи, что предполагаемое в дальнейшем исследование уравнений для тензоров еще более высокого ранга интересно прежде всего именно в связи с возможностью изучения низколежащих мод, поскольку надежных экспериментальных сведений о гигантских резонансах высших мультипольностей пока нет.

Вторая цель имеет методический характер. Речь идет о ГКР. Раньше ^{/1,2/} для его описания мы ограничивались тензорами второго ранга. Теперь же будет решаться система уравнений, содержащая тензоры как 2-го, так и 4-го ранга, так что, в принципе, свойства ГКР могут измениться. Интересно знать - насколько? Фактически, это вопрос устойчивости метода.

2. ОСНОВНЫЕ УРАВНЕНИЯ

Формулировка метода достаточно полно изложена в ^{/3/}. Следуя этой работе, сразу выпишем необходимые пять /из бесконечной цепочки/ уравнений для моментов функции Вигнера $f(\vec{r}, \vec{p}, t)$:

$$\frac{\partial \rho}{\partial t} + \sum_{i=1}^3 \frac{\partial}{\partial x_i} (\rho u_i) = 0, \quad /1/$$

$$\frac{\partial}{\partial t}(\rho u_i) + n \frac{\partial W}{\partial x_i} + \sum_{j=1}^3 \frac{\partial}{\partial x_j}(\rho u_i u_j + P_{ij}) = 0, \quad /2/$$

$$\frac{\partial}{\partial t} P_{ij} + \sum_{k=1}^3 [P_{jk} \frac{\partial u_i}{\partial x_k}]_{ij} + \sum_{k=1}^3 \frac{\partial}{\partial x_k} (u_k P_{ij} + P_{ijk}) = 0, \quad /3/$$

$$\frac{\partial}{\partial t} P_{ijk} + \sum_{\ell=1}^3 [P_{jkl} \frac{\partial u_i}{\partial x_\ell} - \frac{1}{\rho} P_{jk} \frac{\partial}{\partial x_\ell} P_{i\ell}]_{ijk} + \sum_{\ell=1}^3 \frac{\partial}{\partial x_\ell} (u_\ell P_{ijk} + P_{ijkl}) = \frac{\hbar^2 n}{4m^2} \frac{\partial^3 W}{\partial x_i \partial x_j \partial x_k}, \quad /4/$$

$$\frac{\partial}{\partial t} P_{ijkl} + \sum_{s=1}^3 [P_{jkl s} \frac{\partial u_i}{\partial x_s} - \frac{1}{\rho} P_{jkl} \frac{\partial}{\partial x_s} P_{is}]_{ijkl} + \sum_{s=1}^3 \frac{\partial}{\partial x_s} (u_s P_{ijkl} + P_{ijkl s}) = 0. \quad /5/$$

Здесь приняты следующие обозначения:

$$\rho(\vec{r}, t) = mn(\vec{r}, t) = m \int f(\vec{r}, \vec{p}, t) d\vec{p},$$

$$\vec{u}(\vec{r}, t) = \int \vec{p} f(\vec{r}, \vec{p}, t) d\vec{p} / \rho(\vec{r}, t) = \vec{j}(\vec{r}, t) / n(\vec{r}, t),$$

$$P_{i_1 \dots i_n}(\vec{r}, t) = m^{1-n} \int (p_{i_1} - m u_{i_1}) \dots (p_{i_n} - m u_{i_n}) f(\vec{r}, \vec{p}, t) d\vec{p},$$

$$W(\vec{r}) = U(\vec{r}) + \frac{Ze}{A} C(\vec{r}),$$

$U(\vec{r})$ - потенциал ядерных сил, $C(\vec{r})$ - кулоновский потенциал, e - заряд протона, Z - число протонов, A - число нуклонов, m - масса нуклона. Символ $[\dots]_{i\dots j}$ означает симметризацию по индексам i, \dots, j , например, $[A_{ij,kl}]_{ijkl} = A_{ij,kl} + A_{kl,ij} + A_{kj,il} + A_{\ell j,ki} + A_{ik,j\ell} + A_{i\ell,kj}$.

Согласно рецептам работы /3/ для описания коллективных возбуждений положительной четности с мультипольностью $\lambda \leq 4$ требуются две системы вириальных уравнений. Первая из них для тензоров второго ранга исследовалась в работах /1,2/. Она получает-

ся интегрированием по \vec{r} уравнений /1/-/3/ с весами $x_i x_j, x_j$ и 1 соответственно:

$$\frac{\partial}{\partial t} J_{ij} - [\int u_i x_j \rho d\vec{r}]_{ij} = 0, \quad /6/$$

$$\frac{\partial}{\partial t} \int \rho u_i x_j d\vec{r} - \int \rho u_i u_j d\vec{r} - \Pi_{ij} + \int n x_j \frac{\partial W}{\partial x_i} d\vec{r} = 0, \quad /7/$$

$$\frac{\partial}{\partial t} \Pi_{ij} + \sum_{k=1}^3 [\int P_{jk} \frac{\partial u_i}{\partial x_k} d\vec{r}]_{ij} = 0, \quad /8/$$

где

$$J_{ij}(t) = \int x_i x_j \rho(\vec{r}, t) d\vec{r}, \quad \Pi_{ij}(t) = \int P_{ij}(\vec{r}, t) d\vec{r}.$$

Вторая система, для тензоров четвертого ранга, получается интегрированием по \vec{r} уравнений /1/-/5/ с весами $x_i x_j x_k x_\ell, x_j x_k x_\ell, x_k x_\ell, x_\ell$ и 1 соответственно:

$$\frac{\partial}{\partial t} J_{ijkl} - [\int \rho u_i x_j x_k x_\ell d\vec{r}]_{ijkl} = 0, \quad /9/$$

$$\frac{\partial}{\partial t} \int \rho u_i x_j x_k x_\ell d\vec{r} - [\Pi_{ij}^{kl} + \int \rho u_i u_j x_k x_\ell d\vec{r}]_{ijkl} + \int n x_j x_k x_\ell \frac{\partial W}{\partial x_i} d\vec{r} = 0, \quad /10/$$

$$\frac{\partial}{\partial t} \Pi_{ij}^{kl} - [\Pi_{ijk}^\ell + \int P_{ij} u_k x_\ell d\vec{r}]_{ijkl} + \sum_{s=1}^3 [\int P_{js} \frac{\partial u_i}{\partial x_s} x_k x_\ell d\vec{r}]_{ij} = 0, \quad /11/$$

$$\frac{\partial}{\partial t} \Pi_{ijk}^\ell + \sum_{s=1}^3 [\int P_{jks} \frac{\partial u_i}{\partial x_s} x_\ell d\vec{r} - \int \frac{1}{\rho} P_{ij} \frac{\partial P_{ks}}{\partial x_s} x_\ell d\vec{r}]_{ijk} - \quad /12/$$

$$- \Pi_{ijkl} - \int P_{ijk} u_\ell d\vec{r} = \frac{\hbar^2}{4m^2} \int n x_\ell \frac{\partial^3 W}{\partial x_i \partial x_j \partial x_k} d\vec{r},$$

$$\frac{\partial}{\partial t} \Pi_{ijkl} + \sum_{s=1}^3 [\int P_{jkl s} \frac{\partial u_i}{\partial x_s} d\vec{r} - \int \frac{1}{\rho} P_{jkl} \frac{\partial P_{is}}{\partial x_s} d\vec{r}]_{ijkl} = 0. \quad /13/$$

Здесь введены следующие обозначения:

$$\Pi_{ij}^{kl}(t) = \int P_{ij}(\vec{r}, t) x_k x_\ell d\vec{r}, \quad \Pi_{ijk}^\ell(t) = \int P_{ijk}(\vec{r}, t) x_\ell d\vec{r},$$

$$\Pi_{ijkl}(t) = \int P_{ijkl}(\vec{r}, t) d\vec{r}, \quad J_{ijkl}(t) = \int x_i x_j x_k x_l \rho(\vec{r}, t) d\vec{r}.$$

Теперь нужно проварьировать выписанные системы вириальных уравнений в соответствии с правилами вариации интегральных величин^{/10/}. Эти вариации описывают малое отклонение системы от равновесия /основного состояния/ и позволяют после некоторых приближений /см. ниже/ найти ее собственные частоты мультипольности $\lambda \leq 4$. При варьировании уравнений /6/-/13/ во многих подынтегральных выражениях появятся следующие вариации: δn , δu_i , δP_{ij} , δP_{ijk} . Для вариации δn с помощью уравнения непрерывности /1/ можно вывести формулу^{/11/}

$$\delta n = -\operatorname{div}(n\vec{\xi}), \quad /14/$$

где введено бесконечно малое смещение $\xi_i = u_i dt$. Оно очевидным образом^{/11/} связано с δu_i :

$$\frac{\partial \xi_i}{\partial t} = \delta u_i. \quad /15/$$

Смещение ξ_i и вариации δP_{ij} , δP_{ijk} - неизвестные функции \vec{r} и t . В соответствии с^{/3/} предлагается искать их в следующем виде:

$$\begin{aligned} \xi_i(\vec{r}, t) = & L_i(t) + \sum_{j=1}^3 L_{i,j}(t) x_j + \sum_{j,k=1}^3 L_{i,jk}(t) x_j x_k + \\ & + \sum_{j,k,\ell=1}^3 L_{i,jk\ell}(t) x_j x_k x_\ell, \end{aligned} \quad /16/$$

$$\delta P_{ij}(\vec{r}, t) = n(\vec{r}, t) [D_{ij}(t) + \sum_{k=1}^3 D_{ij}^k(t) x_k + \sum_{k,\ell=1}^3 D_{ij}^{k\ell}(t) x_k x_\ell], \quad /17/$$

$$\delta P_{ijk}(\vec{r}, t) = n(\vec{r}, t) [N_{ijk}(t) + \sum_{\ell=1}^3 N_{ijk}^\ell(t) x_\ell]. \quad /18/$$

Это наше главное приближение. Оно позволяет получить замкнутую систему уравнений для различных мультипольных моментов. Аргументы в его пользу уже приводились в^{/2,3,11/}. В дополнение к ним отметим, что в случае гексадекапольных колебаний формула /16/ эквивалентна анзацу Тасси^{/12/}, а в случае квадрупольных колебаний представляет собой его обобщение. Кроме того,

при $\lambda = 4$ формулы /16/-/18/ являются в определенном смысле "длинноволновым приближением", а при $\lambda = 2$ это уже выход за его рамки.

Для упрощения расчетов сделаем еще несколько достаточно очевидных /но, в принципе, не обязательных/ приближений и допущений.

Будем считать, что в состоянии равновесия ядро имеет сферическую форму, для равновесных значений u_i и P_{ijk} примем $u_i^{(0)} = 0$, $P_{ijk}^{(0)} = 0$.

Равновесные значения тензоров $P_{ij}^{(0)}$ и $\Pi_{ijk\ell}^{(0)}$ связаны соотношением, следующим из уравнения /12/:

$$\Pi_{ijk\ell}^{(0)} + \left[\sum_{s=1}^3 \int \frac{1}{\rho^{(0)}} P_{ij}^{(0)} x_\ell \frac{\partial}{\partial x_s} P_{ks}^{(0)} d\vec{r} \right]_{ijk} = - \frac{\hbar^2}{4m^2} \int n^{(0)} x_\ell \frac{\partial^3 W}{\partial x_1 \partial x_j \partial x_k} d\vec{r}. \quad /19/$$

В сферическом ядре тензор $P_{ij}^{(0)}$, очевидно, должен быть диагональным и изотропным: $P_{ij}^{(0)} = \delta_{ij} P^{(0)}$. Для расчета $P^{(0)}$ мы воспользуемся приближением Томаса - Ферми:

$$P^{(0)} = \frac{\hbar^2}{5m} \left(\frac{3\pi^2}{2} \right)^{2/3} \frac{5/3}{n}.$$

Введем в рассмотрение переменные

$$V_{i,j} = \int \rho \xi_i x_j d\vec{r} \quad \text{и} \quad V_{i,jk\ell} = \int \rho \xi_i x_j x_k x_\ell d\vec{r},$$

через которые наиболее просто выражаются вариации тензоров инерции J_{ij} и $J_{ijk\ell}$: $\delta J_{ij} = [V_{i,j}]_{ij}$, $\delta J_{ijk\ell} = [V_{i,jk\ell}]_{ijk\ell}$. Они линейно связаны с $L_{i,j}$ и $L_{i,jk\ell}$:

$$L_{i,j} = \frac{35}{mAR^4 (49\zeta - 45\eta^2)} (7R^2 \zeta V_{i,j} - 9\eta \sum_{s=1}^3 V_{i,jss}), \quad /20/$$

$$L_{i,jk\ell} = \frac{105}{2Am\zeta R^6} \{ V_{i,jk\ell} - \frac{1}{49\zeta - 45\eta^2} [2\eta\zeta R^2 \delta_{kl} V_{i,j} + (7\zeta - 9\eta^2) \sum_{s=1}^3 \delta_{kl} V_{i,jss}]_{jk\ell} \}, \quad /21/$$

где

$$\eta = \frac{21}{25} \frac{\langle r^4 \rangle}{\langle r^2 \rangle^2}, \quad \zeta = \frac{81}{125} \frac{\langle r^6 \rangle}{\langle r^2 \rangle^3}, \quad R^2 = \frac{5}{3} \langle r^2 \rangle,$$

$$\langle \phi(\vec{r}, \vec{p}) \rangle = A^{-1} \int f(\vec{r}, \vec{p}, t) \phi(\vec{r}, \vec{p}) d\vec{r} d\vec{p}.$$

В приближении резкого края $\eta = \zeta = 1$. Аналогично вариации $\delta \Pi_{ij}$ и $\delta \Pi_{ij}^{kl}$ могут быть связаны с функциями D_{ij} и D_{ij}^{kl} :

$$D_{ij} = \frac{35}{A(25\eta - 21)} \left(\frac{5}{7} \eta \delta \Pi_{ij} - \frac{1}{R^2} \sum_{s=1}^3 \delta \Pi_{ij}^{ss} \right), \quad /22/$$

$$D_{ij}^{kl} = \frac{35}{2A\eta R^4} \left\{ \delta \Pi_{ij}^{kl} + \frac{\delta_{kl}}{25\eta - 21} \left[(7-5\eta) \sum_{s=1}^3 \delta \Pi_{ij}^{ss} - 2\eta R^2 \delta \Pi_{ij} \right] \right\}. \quad /23/$$

Функции L, D и N с нечетным числом индексов не войдут в окончательные уравнения из-за трипланарной симметрии ядра.

В итоге вариации вириальных уравнений /6-/ /13/ принимают вид

$$\ddot{V}_{i,j} = \delta \Pi_{ij} + \delta C_{ij} - 2\delta \sigma_{ij} + \delta U_{ij}, \quad /24/$$

$$\dot{\delta \Pi}_{ij} = \frac{\langle p^2 \rangle}{3m^2 R^2} \frac{35}{49\zeta - 45\eta^2} \left[(9\eta - 7\zeta) \dot{V}_{i,j} - \frac{9(7-5\eta)}{5R^2} \sum_s \dot{V}_{i,jss} \right]_{ij}, \quad /25/$$

$$\ddot{V}_{i,jkl} = \delta C_{i,jkl} - \delta \Sigma_{i,jkl} + \delta U_{i,jkl} + [\delta \Pi_{ij}^{kl}]_{jkl}, \quad /26/$$

$$\begin{aligned} \dot{\delta \Pi}_{ij}^{kl} = & \frac{\langle p^2 \rangle}{3m^2} (\delta_{ij} \dot{V}_{kl} - \delta_{kl} \dot{V}_{ij}) + \frac{7\langle p^2 \rangle \langle r^4 \rangle}{3m^2 \langle r^2 \rangle} \left\{ \frac{2\eta \zeta R^2}{49\zeta - 45\eta^2} [\delta_{jl} \dot{V}_{i,k} + \right. \\ & + \delta_{il} \dot{V}_{j,k}]_{kl} - [\dot{V}_{i,jkl}]_{ij} + \sum_{s=1}^3 (\delta_{kl} \dot{V}_{s,sij} - \frac{9\eta^2 - 7\zeta}{49\zeta - 45\eta^2} [\delta_{jl} \dot{V}_{i,kss} + \\ & \left. + \delta_{il} \dot{V}_{j,ksskl}]) \right\} + [\delta \Pi_{ijk}^l]_{kl}, \quad /27/ \end{aligned}$$

$$\dot{\delta \Pi}_{ijk}^l = \frac{\langle p^2 \rangle}{3m^2 (25\eta - 21)} \left\{ 5(7-5\eta) [\delta_{kl} \delta \Pi_{ij}]_{ijk} - 14 [\delta_{ij} \delta \Pi_{kl}]_{ijk} \right\} +$$

$$+ \delta \Pi_{ijk\ell} + \chi_{ijk,\ell} + \frac{5 \langle p^2 \rangle \langle r^2 \rangle}{3m^2 \langle r^4 \rangle} \{ \delta_{ij} \sum_{s=1}^3 \delta \Pi_{ks}^{\ell s} - \delta \Pi_{ij}^{k\ell} \}_{ijk} + \quad /28/$$

$$+ \frac{7-5\eta}{25\eta-21} \sum_{s=1}^3 [\delta_{ij} \delta \Pi_{k\ell}^{ss} - \delta_{k\ell} \delta \Pi_{ij}^{ss}]_{ijk},$$

$$\dot{\delta} \Pi_{ijk\ell} = [\frac{\langle p^4 \rangle}{5m^2 \langle p^2 \rangle} \delta_{jk} \dot{\delta} \Pi_{i\ell} - \frac{\langle p^2 \rangle}{m^2 \langle r^2 \rangle} \delta \Pi_{jk\ell}^i]_{ijk\ell}. \quad /29/$$

Здесь

$$\chi_{ijk,\ell} = \frac{\hbar^2}{4m^2} \delta \int n x_{\ell} \frac{\partial^3 W}{\partial x_i \partial x_j \partial x_k} d\vec{r}.$$

Определения тензоров кулоновских сил C_{ij} и $C_{i,jk\ell}$ можно найти в приложении 1. Тензоры ядерных сил так же, как это делалось в работах ^{1,2,3/}, разделены на поверхностную и объемную части:

$$\int n x_j \frac{\partial U}{\partial x_i} d\vec{r} = 2\sigma_{ij} - U_{ij}, \quad \int n x_j x_k x_{\ell} \frac{\partial U}{\partial x_i} d\vec{r} = \sum_{i,jk\ell} \sigma_{i,jk\ell} - U_{i,jk\ell},$$

где

$$2\sigma_{ij} = - \int x_j U \frac{\partial n}{\partial x_i} d\vec{r}, \quad U_{ij} = \delta_{ij} \int n U d\vec{r}, \quad \sum_{i,jk\ell} \sigma_{i,jk\ell} = 2[\sigma_{ij,k\ell}]_{jk\ell},$$

$$2\sigma_{ij,k\ell} = - \int x_j x_k x_{\ell} U \frac{\partial n}{\partial x_i} d\vec{r}, \quad U_{i,jk\ell} = [\delta_{ij} U_{k\ell}]_{jk\ell}, \quad U_{k\ell} = \int n U x_k x_{\ell} d\vec{r}.$$

С целью дальнейшего упрощения расчетов будем считать ядерное вещество несжимаемым, край ядра - резким. Из уравнения непрерывности при этом возникает условие $\text{div} \vec{\xi} = 0$. Оно приводит к соотношениям

$$\sum_{s=1}^3 V_{ss} = 0, \quad \sum_{s=1}^3 V_{ijs} = R^2 V_{ij}, \quad /30/$$

где

$$V_{ij} = V_{i,j} + V_{j,i}, \quad V_{ijk\ell} = [V_{i,jk\ell}]_{ijk\ell}.$$

В случае резкого края ядра среднее поле на его поверхности имеет смысл аппроксимировать поверхностным натяжением^{/3,13/}. Тогда для тензоров σ_{ij} и $\delta\sigma_{ij}$ получаются выражения, приведенные в^{/1,13/}, а для тензора $\delta\Sigma_{1,jkl}$ имеем

$$\delta\Sigma_{1,jkl} = \frac{24\pi T}{mA} \{ V_{1,jkl} - \frac{R^2}{9} [\delta_{jk} V_{il}]_{jkl} \}, \quad /31/$$

где $T = b/4\pi r_0^2$ - коэффициент поверхностного натяжения, $b = 17$ МэВ, $r_0 = 1,2$ фм. Формулы для тензоров кулоновских сил и для их вариаций можно найти в работах^{/10,14/}. Последний член /квантовая поправка/ в уравнении /28/ вычисляется так же, как в октупольной задаче^{/3,15/}:

$$\chi_{ijk,\ell} = - \frac{5\pi Th^2}{Am^3 R^2} [\delta_{ij} \{ \frac{3}{5} V_{k\ell} - \frac{1}{R^2} \sum_{s=1}^3 (V_{k,\ell ss} + V_{\ell, kss}) \}]_{ijk\ell} .$$

3. РАСЧЕТ ЭНЕРГИЙ ВОЗБУЖДЕНИЙ

Учитывая, что индексы i, j, k, ℓ принимают значения 1,2,3, нетрудно подсчитать, что система /24/-/29/ содержит 126 уравнений. Перекомбинируем их так, чтобы получились уравнения для тензоров, неприводимых по группе вращений. Поскольку в сферическом ядре мультипольный момент λ является хорошим квантовым числом, система уравнений должна распадаться на пять независимых блоков, соответствующих $\lambda = 4, 3, 2, 1, 0$. Декартовы тензоры различной симметрии разбиваются на неприводимые следующим образом^{/16/}:

$$T_{i,j} \Rightarrow \mathcal{T}_{00} + \mathcal{T}_{1\mu} + \mathcal{T}_{2\mu}, \quad T_{ij} \Rightarrow \mathcal{T}_{00} + \mathcal{T}_{2\mu},$$

$$T_{i,jkl} \Rightarrow \mathcal{T}_{00} + \mathcal{T}_{1\mu} + 2\mathcal{T}_{2\mu} + \mathcal{T}_{3\mu} + \mathcal{T}_{4\mu},$$

$$T_{ij,k\ell} \Rightarrow 2\mathcal{T}_{00} + \mathcal{T}_{1\mu} + 3\mathcal{T}_{2\mu} + \mathcal{T}_{3\mu} + \mathcal{T}_{4\mu},$$

$$T_{ijk\ell} \Rightarrow \mathcal{T}_{00} + \mathcal{T}_{2\mu} + \mathcal{T}_{4\mu}.$$

Рассмотрим отдельно возбуждения каждой мультипольности /монополюсные возбуждения отсутствуют из-за приближения несжимаемости/.

3.1. Гексадекапольные возбуждения 4^+

Система уравнений для тензоров мультипольности $\lambda = 4$ имеет вид

$$\begin{aligned} \ddot{\Gamma}_{4\mu}^{(1)} + \beta \Gamma_{4\mu}^{(1)} - 2\Gamma_{4\mu}^{(2)} &= 0, \\ \dot{\Gamma}_{4\mu}^{(2)} + \frac{27}{10} \gamma^2 \dot{\Gamma}_{4\mu}^{(1)} - 3\Gamma_{4\mu}^{(3)} &= 0, \\ \dot{\Gamma}_{4\mu}^{(3)} + \frac{7}{5} \gamma^2 \dot{\Gamma}_{4\mu}^{(2)} - 4\Gamma_{4\mu}^{(4)} &= 0, \\ \frac{27}{10} \gamma^4 \dot{\Gamma}_{4\mu}^{(1)} + \gamma^2 \dot{\Gamma}_{4\mu}^{(2)} + 6\dot{\Gamma}_{4\mu}^{(4)} &= 0. \end{aligned} \quad /32/$$

Здесь

$$\beta = (27 - 10X) 32\pi T / 9mA, \quad \gamma^2 = \hbar^2 (9\pi/A)^{2/3} / 2m^2 r_0^4,$$

X - параметр делимости, $\Gamma_{4\mu}^{(1)}$ - вариация электрического гексадекапольного момента ядра $Q_{4\mu} = (eZ/A) \int \rho(\vec{r}) r^4 Y_{4\mu}(\theta, \phi) d\vec{r}$. Тензоры $\Gamma_{4\mu}^{(i)}$ являются линейными комбинациями переменных V_{ijkl} , $\delta\Pi_{ij}^{kl}$, $\delta\Pi_{ijk}^l$ и $\delta\Pi_{ijkl}$ / см. приложение II/. Последнее уравнение системы /32/ дает, очевидно, интеграл движения $\frac{27}{10} \gamma^4 \Gamma_{4\mu}^{(1)} + \gamma^2 \Gamma_{4\mu}^{(2)} + 6\Gamma_{4\mu}^{(4)} = \text{const}$, а из первых трех получается характеристическое уравнение

$$\omega^4 - \omega^2 \left(\frac{58}{5} \gamma^2 + \beta \right) + \frac{\gamma^2}{5} (54\gamma^2 + 31\beta) = 0. \quad /33/$$

Его решение дает два девятикратно вырожденных уровня энергии: $E_4^{(1)} \approx 70 A^{-1/3}$ МэВ и $E_4^{(2)} \approx 212 A^{-1/3}$ МэВ. Они изображены на рис. 1 сплошными линиями /для ядер с дорожки β -стабильности/. Там же представлены экспериментальные данные по гигантским гексадекапольным резонансам /ГГР/ из /17-21/. Как видно, решение с меньшей энергией неплохо с ними согласуется. Расхождение в легких ядрах должно уменьшиться при учете размытости края ядра и сжимаемости. Этот резонанс приблизительно соответствует ожидаемому переходу с $\Delta N = 2$ и обычно воспроизводится в RPA-расчетах различной степени сложности /7, 8, 21, 22/. Без учета кулоновских и поверхностных сил $E_4^{(1)}$ опускается к $65 A^{-1/3}$ МэВ.

Второй 4^+ -резонанс /с энергией $\sim 212 A^{-1/3}$ МэВ/ лежит явно выше ожидаемого возбуждения с $\Delta N = 4$, которое, как правило, и получается в RPA-расчетах /8, 21, 22/. Исключение составляет лишь работа /7/, предсказывающая положение второго 4^+ -уровня в том

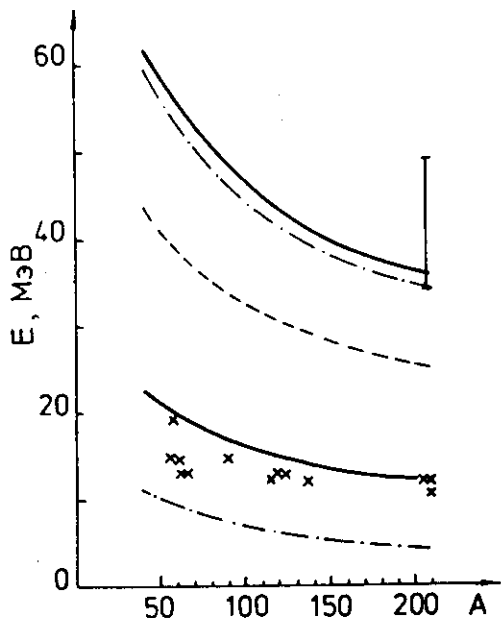


Рис.1. Гексадекапольные возбуждения. Сплошные кривые - точный расчет, штрихпунктирные - учтены квадрупольная и октупольная ДПФ, пунктирная - учтена только квадрупольная ДПФ. Крестики - экспериментальные данные из /17-21/. Экспериментальные границы для верхнего 4^+ -возбуждения - из работы /20/.

же районе, что и мы. Имеющееся одно экспериментальное указание /20/ согласуется с нашим расчетом /см. рис.1/.

Если не принимать во внимание переменные $\delta \Pi_{ijkl}$ /т.е. $\Gamma_{4\mu}^{(4)}$ / и, соответственно, отбросить последнее уравнение в /32/ /что эквивалентно пренебрежению гексадекапольной деформацией поверхности Ферми /ДПФ//, то решения ощутимо смещаются, удаляясь от эксперимента /штрихпунктирные кривые/. Если же пренебречь еще и октупольной ДПФ /переменные $\delta \Pi_{ijk}$ /, то остается только одно решение /пунктирная кривая/, которое не имеет ничего общего с экспериментом, но совпадает /если пренебречь также кулоновскими и поверхностными силами/ с результатом работы /23/: $E_4 \approx 150 A^{-1/3}$ МэВ.

3.2. Октупольные возбуждения 3^+

Для тензора мультипольности $\lambda = 3$ получается следующая система уравнений:

$$\dot{F}_{3\mu}^{(1)} - 2F_{3\mu}^{(2)} = 0,$$

$$\dot{F}_{3\mu}^{(2)} + \frac{9}{10} \gamma^2 F_{3\mu}^{(1)} + F_{3\mu}^{(3)} = 0, \quad /34/$$

$$10\dot{F}_{3\mu}^{(3)} - 7\gamma^2 \dot{F}_{3\mu}^{(1)} = 0.$$

Здесь $F_{3\mu}^{(1)}$ - вариация магнитного октупольного момента ядра
 $\mathbb{M}_{3\mu} = (eZ/4Ac) \int n(\vec{r}) \vec{\nabla} (r^3 Y_{3\mu}) \cdot [\vec{r} \times \vec{u}] d\vec{r}$, c - скорость света. Тензоры $F_{3\mu}^{(i)}$ являются линейными комбинациями тензоров $V_{i,jkl}$, $\delta\Pi_{ij}^{kl}$ и $\delta\Pi_{ijk}^l$ /см.приложение 11/.

Последнее уравнение системы /34/ дает, очевидно, интеграл движения $10F_{3\mu}^{(3)} - 7\gamma^2 F_{3\mu}^{(1)} = \text{const}$, а первые два - один семикратно вырожденный уровень с энергией

$$E_3 = \frac{4}{\sqrt{5}} \gamma \approx 116 A^{-1/3} \text{ МэВ.} \quad /35/$$

По смыслу переменных, входящих в /34/, это магнитный октупольный резонанс. Кулоновские и поверхностные силы, как видно из /35/, не влияют на его положение, которое полностью определяется квадрупольной и октупольной ДПФ. Если пренебречь октупольной ДПФ, уровень опускается к $\tilde{E}_3 = \frac{3}{\sqrt{5}} \gamma \approx 87 A^{-1/3} \text{ МэВ}$. Экспериментальных данных пока нет.

3.3. Квадрупольные возбуждения 2^+

Тензоры мультипольности $\lambda = 2$ описываются следующей системой уравнений:

$$\ddot{B}_{2\mu}^{(1)} + \frac{7}{2} \gamma^2 \left(\frac{9}{5} B_{2\mu}^{(3)} - B_{2\mu}^{(1)} \right) + \alpha B_{2\mu}^{(1)} = 0,$$

$$\dot{B}_{2\mu}^{(2)} + \frac{7}{20} \gamma^2 (9 \dot{B}_{2\mu}^{(3)} - 5 \dot{B}_{2\mu}^{(1)}) = 0,$$

$$\ddot{B}_{2\mu}^{(3)} + \left(\frac{5}{7} \alpha - \gamma^2 \right) B_{2\mu}^{(1)} + \frac{9}{5} B_{2\mu}^{(3)} + \frac{2}{7} (2 B_{2\mu}^{(4)} - 3 B_{2\mu}^{(5)} - 5 B_{2\mu}^{(6)}) = 0,$$

$$\dot{B}_{2\mu}^{(4)} - \frac{3}{10} \gamma^2 \dot{B}_{2\mu}^{(1)} - B_{2\mu}^{(7)} = 0,$$

$$\dot{B}_{2\mu}^{(5)} - \dot{B}_{2\mu}^{(4)} - \dot{B}_{2\mu}^{(6)} = 0,$$

$$\dot{B}_{2\mu}^{(6)} + \frac{3}{20} \gamma^2 (21 \dot{B}_{2\mu}^{(3)} - 13 \dot{B}_{2\mu}^{(1)}) - 2 B_{2\mu}^{(8)} = 0,$$

$$\dot{B}_{2\mu}^{(7)} + \frac{7}{8} \gamma^2 \{ \gamma^2 [(5 + \frac{5}{7} \chi) B_{2\mu}^{(1)} - (9 + \chi) B_{2\mu}^{(3)}] - \frac{4}{5} (B_{2\mu}^{(4)} + 6 B_{2\mu}^{(6)}) \} - 2 B_{2\mu}^{(9)} = 0,$$

$$\dot{B}_{2\mu}^{(8)} - \frac{7}{400} \gamma^2 \{ \gamma^2 [(55 - \frac{31 \cdot 5}{7} \chi) B_{2\mu}^{(1)} - (99 - 25 \chi) B_{2\mu}^{(3)}] - 100 B_{2\mu}^{(6)} \} - B_{2\mu}^{(9)} = 0,$$

$$2 \dot{B}_{2\mu}^{(9)} - \frac{\gamma^4}{200} [100 \dot{B}_{2\mu}^{(1)} + 7 \cdot 17 (5 \dot{B}_{2\mu}^{(1)} - 9 \dot{B}_{2\mu}^{(3)})] + \gamma^2 B_{2\mu}^{(5)} = 0.$$

/36/

Здесь $\chi = 20\pi T \hbar^2 / Am^3 R^4 \gamma^4$, $\alpha = (1 - X) 32\pi T / 3 mA$, $B_{2\mu}^{(1)}$ - вариация квадрупольного момента ядра $Q_{2\mu} = (eZ/A) \int n(\vec{r}) r^2 Y_{2\mu}(\theta, \phi) d\vec{r}$. Определения всех переменных $B_{2\mu}^{(j)}$ в терминах тензоров $V_{i,j}$, $V_{i,jkl}$, $\delta\Pi_{ij}$, $\delta\Pi_{ij}^{kl}$, $\delta\Pi_{ijk}$, $\delta\Pi_{ijkl}$ приведены в приложении II.

"Квантовая поправка" содержится в величине $\chi \approx 0,032 A^{-1}$. Как видно, она исчезающе мала. При выводе этих уравнений были использованы соотношения /30/. Второе, пятое и девятое уравнения

$$\text{дают интегралы движения } B_{2\mu}^{(2)} + \frac{7}{20} \gamma^2 (9B_{2\mu}^{(3)} - 5B_{2\mu}^{(1)}) = \text{const},$$

$$B_{2\mu}^{(4)} - B_{2\mu}^{(5)} + B_{2\mu}^{(6)} = \text{const}, \quad 2B_{2\mu}^{(9)} - \gamma^4 \left[\frac{1}{2} B_{2\mu}^{(1)} + \frac{7 \cdot 17}{200} (5B_{2\mu}^{(1)} - 9B_{2\mu}^{(3)}) \right] +$$

$$+ \gamma^2 B_{2\mu}^{(5)} = \text{const}. \text{ Из остальных получается характеристическое уравнение}$$

$$x^4 + c_3 x^3 + c_2 x^2 + c_1 x + c_0 = 0,$$

/37/

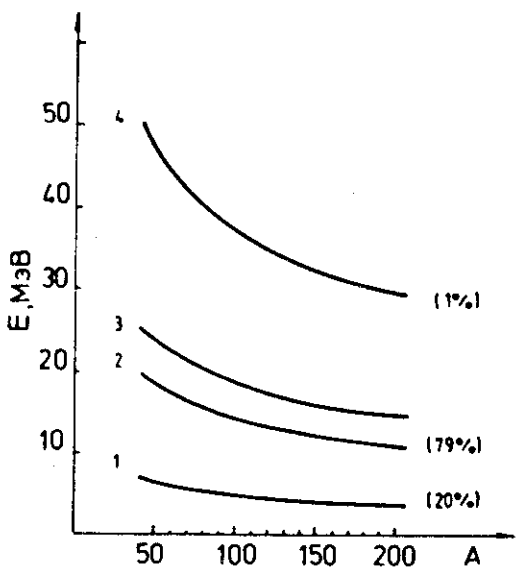
Где $x = \omega^2 / \gamma^2$,

$$c_0 = \frac{7 \cdot 9}{100} (3 + 6,9 \alpha / \gamma^2),$$

$$c_1 = -17,123 - 16,07 \alpha / \gamma^2,$$

$$c_2 = 24,29 + 9,3 \alpha / \gamma^2,$$

$$c_3 = -10,3 - \alpha / \gamma^2.$$



Его решение дает четыре пятикратно вырожденных уровня энергии. Их зависимость от A показана на рис.2. Если пренебречь поперхностными и кулоновскими силами, энергии изменятся незначительно и могут быть приближенно записаны как $E_2^{(1)} \approx 23,7 A^{-1/3}$ МэВ, $E_2^{(2)} \approx 65,9 A^{-1/3}$ МэВ, $E_2^{(3)} \approx 87,3 A^{-1/3}$ МэВ, $E_2^{(4)} \approx 174,7 A^{-1/3}$ МэВ. Уровень

Рис.2. Квадрупольные возбуждения. В скобках указан процент истощивания изо-скалярного правила сумм.

$E_2^{(2)}$ есть не что иное, как гигантский квадрупольный резонанс /ГКР/. Напомним, что в работах /1,2/ он рассчитывался с помощью системы уравнений только для тензоров второго ранга, и тогда получалось $64,7 \text{ A}^{-1/3} \text{ МэВ}$. Как видно, расширение схемы расчета до тензоров четвертого ранга практически не повлияло на энергию ГКР, что говорит об устойчивости метода.

Влияние ДПФ высших мультипольностей нетрудно оценить, опустив переменные $V_{2\mu}^{(7)}$, $V_{2\mu}^{(8)}$ и $V_{2\mu}^{(9)}$ /и три последних уравнения системы /36//. В результате остаются только два уровня: $E_2^{(2)} \approx 54,3 \text{ A}^{-1/3}$ и $E_2^{(4)} \approx 141,7 \text{ A}^{-1/3}$. Таким образом, пренебрежение ДПФ с $\lambda > 2$ приводит не только к заметным численным ошибкам при расчете энергий возбуждений, но и /что более важно/ просто к потере некоторых мод! Следовательно, нельзя ими пренебречь!

3.4. Дипольные возбуждения 1^+

Из переменных, фигурирующих в системе уравнений /24/-/29/, можно построить четыре вектора:

$$I_i^{(1)} = \sum_{j,k=1}^3 \epsilon_{ijk} \dot{V}_{k,j}, \quad I_i^{(2)} = \sum_{j,k=1}^3 \epsilon_{ijk} \sum_{s=1}^3 \dot{V}_{k,jss},$$

/38/

$$I_i^{(3)} = \sum_{j,k=1}^3 \epsilon_{ijk} \sum_{s=1}^3 \delta \Pi_{ks}^{js}, \quad I_i^{(4)} = \sum_{j,k=1}^3 \epsilon_{ijk} \sum_{s=1}^3 \delta \Pi_{kss}^j,$$

где ϵ_{ijk} - символ Леви - Чивита. Первый вектор суть вариация углового момента ядра. Она, очевидно, сохраняется. Для остальных векторов справедлива следующая система уравнений:

$$\dot{I}_i^{(2)} - 2I_i^{(3)} = 0,$$

$$\dot{I}_i^{(3)} + \frac{63}{20} \gamma^2 I_i^{(2)} - I_i^{(4)} = 0,$$

/39/

$$\dot{I}_i^{(4)} - \frac{21}{20} \gamma^2 I_i^{(2)} = 0.$$

Последнее уравнение дает еще один интеграл движения $I_i^{(4)} - \frac{21}{20} \gamma^2 I_i^{(2)} = \text{const}$, а первые два дают один трехкратно вырожденный уровень с энергией $E_1 = 132,6 \text{ A}^{-1/3} \text{ МэВ}$. Пренебрежение октупольной ДПФ поднимает его до $E_{\perp} = 162,4 \text{ A}^{-1/3}$, т.е. меняет результат почти на 25%, что еще раз подчеркивает необходимость учета ДПФ высших мультипольностей. О физическом смысле этого возбуждения - в следующей работе.

4. ВЕРОЯТНОСТИ ВОЗБУЖДЕНИЯ 2^+ - и 4^+ -СОСТОЯНИЙ

Для расчета приведенных вероятностей переходов используем теорию линейного отклика системы на возмущение внешним полем

$$\hat{O}(t) = \hat{O}e^{-i\omega t} + \hat{O}^\dagger e^{i\omega t}. \quad /40/$$

Матричные элементы оператора \hat{O} согласно Лейну^{/24/} удовлетворяют соотношению

$$|\langle \psi_a | \hat{O} | \psi_0 \rangle|^2 = \lim_{\omega \rightarrow \omega_a} \hbar(\omega - \omega_a) \langle \psi'_0 | \hat{O} e^{-i\omega t} | \psi'_0 \rangle, \quad /41/$$

где ψ_0 и ψ_a - невозмущенные волновые функции основного и возбужденного стационарных состояний; $\omega_a = (E_a - E_0)/\hbar$ - собственные частоты; черта означает усреднение по интервалу времени большому, чем $1/\omega$, ω - частота внешнего поля.

4.1. 4^+ -состояния

Подробности приспособления формулы /41/ к методу моментов были изложены в^{/3'/}, поэтому здесь промежуточные выкладки не приводятся.

Возмущение ядра внешним полем

$$\hat{O} \equiv q_{4\mu} = \frac{eZ}{A} r^4 Y_{4\mu}$$

делает неоднородным первое уравнение системы /32/:

$$\ddot{\Gamma}_{4\mu}^{(1)} + \beta \Gamma_{4\mu}^{(1)} - 2\Gamma_{4\mu}^{(2)} = -3 \frac{e^2 Z^2 R^6}{\pi mA} (e^{i\omega t} + \delta_{\mu 0} e^{-i\omega t}).$$

Для матричного элемента имеем

$$\langle \psi'_0 | q_{4\mu} | \psi'_0 \rangle = \Gamma_{4\mu}^{(1)}.$$

Решая неоднородную систему /32/ относительно $\Gamma_{4\mu}^{(1)}$, находим с помощью /41/

$$B(E4, 4_1^+ \rightarrow gr) \equiv |\langle \psi_{4^+} | \hat{O} | \psi_0 \rangle|^2 = \frac{3}{2} \frac{\hbar e^2 Z^2 R^6}{\pi mA} \frac{(\omega_i^2 - \frac{31}{5} \gamma^2)}{\omega_i (\omega_i^2 - \omega_j^2)}, \quad i \neq j.$$

Отсюда получается

$$B(E4, 4_2^+ \rightarrow gr) = 20,5 \frac{Z^2}{A^{4/3}} B_W (= 111,7 B_W \text{ для } ^{208}\text{Pb}),$$

$$B(E4, 4_1^+ \rightarrow gr) = 57,3 \frac{Z^2}{A^{4/3}} B_W (= 320,2 B_W \text{ для } ^{208}\text{Pb}).$$

Оба уровня дают примерно одинаковый вклад в энергетически взвешенное правило сумм и полностью его исчерпывают.

4.2. 2^+ -состояния

Возмущение ядра внешним полем

$$\hat{O} \equiv q_{2\mu} = \frac{eZ}{A} r^2 Y_{2\mu}$$

делает неоднородными первое и третье уравнения системы /36/:

$$-\ddot{B}_{2\mu}^{(1)} + \left(\frac{7}{2} \gamma^2 - \alpha\right) B_{2\mu}^{(1)} - \frac{63}{10} \gamma^2 B_{2\mu}^{(3)} = \frac{3}{2} \kappa (e^{i\omega t} + \delta_{\mu 0} e^{-i\omega t}),$$

$$-\ddot{B}_{2\mu}^{(3)} + \left(\gamma^2 - \frac{5}{7} \alpha\right) B_{2\mu}^{(1)} - \frac{9}{5} \gamma^2 B_{2\mu}^{(3)} + \frac{2}{7} (5B_{2\mu}^{(6)} + 3B_{2\mu}^{(5)} - 2B_{2\mu}^{(4)}) = \\ = \frac{15}{14} \kappa (e^{i\omega t} + \delta_{\mu 0} e^{-i\omega t}).$$

Здесь $\kappa = e^2 Z^2 R^2 / \pi m A$. Матричный элемент $\langle \psi_0' | q_{2\mu} | \psi_0' \rangle = B_{2\mu}^{(1)}$, а для приведенной вероятности перехода имеем

$$B(E2, 2_1^+ \rightarrow gr) = \frac{3}{4} \frac{\hbar \kappa}{\omega_1} \frac{\omega_1^3 - \frac{93}{10} \gamma \omega_1^2 + \frac{37}{2} \gamma^2 \omega_1 - \frac{123}{25} \gamma^3}{\prod_{j \neq 1} (\omega_1 - \omega_j)}$$

Отсюда получается

$$B(E2, 2_1^+ \rightarrow gr) = 10,2 \frac{Z^2}{A^{4/3}} B_W (= 55,9 B_W \text{ для } ^{208}\text{Pb}).$$

$$B(E2, 2_2^+ \rightarrow g) = 14,7 \frac{Z^2}{A^{4/3}} B_W \quad (= 80,2 B_W \text{ для } ^{208}\text{Pb}).$$

Нижний уровень $E_2^{(1)}$ исчерпывает 20% энергетически взвешенного правила сумм, а ГКР ($E_2^{(2)}$) - 79%, оставляя на долю двух более высоких 2^+ -возбуждений всего 1% правила сумм. Отсюда можно сделать вывод, что низколежащее 2^+ -возбуждение является центроидом всех 2^+ -состояний ядра, лежащих ниже ГКР. Как видно на рис.3, экспериментальные данные $^{25-31}/$ по низколежащим 2^+ -состояниям в сферических ядрах не противоречат такой интерпретации, хотя о хорошем согласии теории с экспериментом говорить еще приходится /исключение составляет ^{208}Pb /. Ситуация может еще улучшиться при учете размытости края ядра, сжимаемости, спин-изоспиновых степеней свободы, а также при расширении схемы расчета до тензоров шестого ранга и выше. Пока же отметим, что для нашего метода принципиально важен сам факт появления низколежащего 2^+ -состояния, которое воспроизводится в микро-

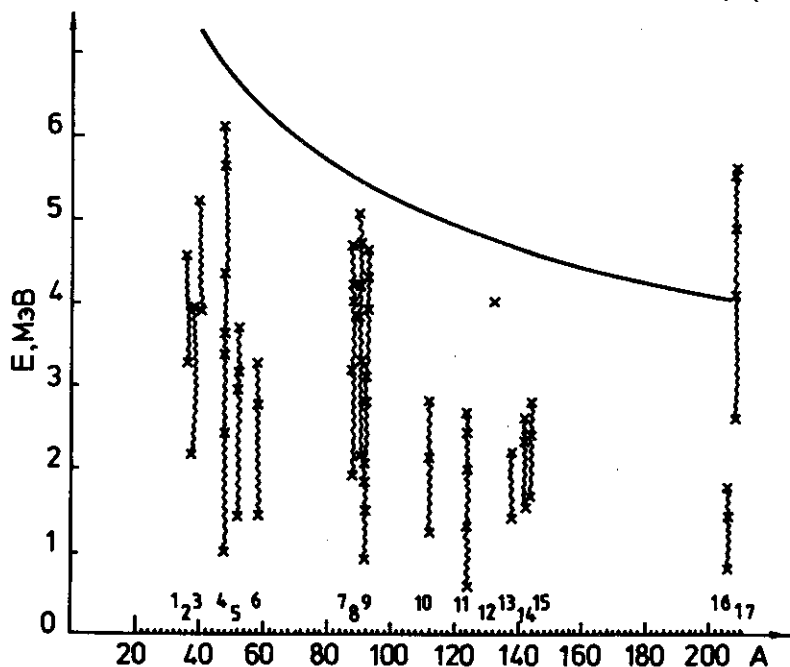


Рис.3. Нижняя ветвь квадрупольных возбуждений. Крестиками отмечены экспериментальные 2^+ -уровни различных ядер из работ $^{25-31}/$: 1 - ^{36}S , 2 - ^{38}Ar , 3 - ^{40}Ca , 4 - ^{48}Ti , 5 - ^{52}Cr , 6 - ^{58}Ni , 7 - ^{88}Sr , 8 - ^{90}Zr , 9 - ^{92}Zr и ^{92}Mo , 10 - ^{112}Sn , 11 - ^{124}Te , 12 - ^{132}Cs , 13 - ^{138}Ba , 14 - ^{142}Nd , 15 - ^{144}Sm , 16 - ^{206}Pb , 17 - ^{208}Pb .

скопических расчетах ^{/7-9/} и не получается в методе фазового пространства ^{/4-6/}.

Природу по крайней мере одного из двух высоколежащих 2^+ -возбуждений можно, по-видимому, связать с динамикой тороидного квадрупольного момента ^{/32/}

$$T_{ij} = \frac{1}{28} \int n(\vec{r}) [2(\vec{r} \cdot \vec{u}) (r^2 \delta_{ij} + 2x_i x_j) - 5r^2 (x_i u_j + x_j u_i)] d\vec{r}, \quad /42/$$

поскольку его вариация является линейной комбинацией переменных, представленных в системе ^{/36/}:

$$\delta T_{ij} = \frac{eZR^2}{28mcA} \left\{ 2\dot{V}_{ij} - \frac{7}{R^2} \sum_{s=1}^3 [\dot{V}_{i,jss}]_{ij} \right\}.$$

В пользу этого предположения говорит упрощенный RPA-расчет ^{/33/}, который предсказывает 2^+ -уровень вихревой природы при энергии $\sim 93 \text{ A}^{-1/3} \text{ МэВ}$, что очень близко к нашему результату для $E_2^{(8)}$. Там же предсказывается и низколежащий "тороидный" 2^+ -уровень, поэтому не исключено, что наш уровень при $23,7 \text{ A}^{-1/3} \text{ МэВ}$ имеет заметную примесь вихревой компоненты.

Для окончательного вывода о природе высоколежащих 2^+ -возбуждений следует вычислить квадрат матричного элемента $|\langle 0 | T_{ij} | 2^+ \rangle|^2$, что будет сделано в следующей работе. Там же будет вычислена вероятность возбуждения и другой токовой моды - октупольного магнитного резонанса.

5. ЗАКЛЮЧЕНИЕ

Подведем кратко итоги. Метод моментов впервые применен для описания коллективных возбуждений с $\lambda \leq 4$. Получено неплохое согласие с экспериментальными данными по энергиям ГГР. Предсказано положение октупольного магнитного резонанса, а также 1^+ -состояния сложной структуры.

На примере 2^+ -возбуждений продемонстрирована устойчивость метода к расширению схемы расчета. А именно, показано, что энергия ГГР, рассчитанная в схеме с тензорами второго и четвертого ранга, практически совпадает с рассчитанной ранее ^{/1,2/} в схеме с тензорами только второго ранга. Расширение схемы до тензоров четвертого ранга при расчете ГГР эквивалентно выходу за рамки длинноволнового приближения, а также учету октупольной и гексадекапольной деформации поверхности Ферми. Соответственно возрастает число принимаемых во внимание степеней свободы, что ведет к появлению новых 2^+ -уровней. Особенно

интересен факт появления низколежащего 2^+ -уровня - он позволяет надеяться все более подробно описывать низколежащую часть спектра по мере дальнейшего увеличения числа степеней свободы /по мере изучения динамики тензоров все более высокого ранга/. Тем самым подчеркивается также необходимость учета ДПФ высших мультипольностей.

Показано, что "квантовая поправка" входит только в уравнения для 2^+ -возбуждений, но численно практически не сказывается на энергиях.

Чтобы не увеличивать чрезмерно размеры этой работы, освещение некоторых вопросов /это видно было по ходу изложения/ отложено до следующей публикации. К ним относятся детальное исследование природы всех возбуждений с демонстрацией распределения токов; расчет вероятностей возбуждения 1^+ - и 3^+ -уровней; систематизация экспериментальных данных по $B(E)$ -факторам всех известных 2^+ -уровней ниже ГКР, анализ вклада квадрупольного тороидного движения в 2^+ -возбуждения.

Большой интерес, конечно, представляют моды сжатия, для изучения которых требуется провести расчеты с каким-нибудь реалистическим взаимодействием. Но это уже задача более отдаленного будущего.

ПРИЛОЖЕНИЕ I

Тензоры кулоновских сил:

$$C_{ij} = \frac{eZ}{A} \int n(\vec{r}) x_j \frac{\partial C(\vec{r})}{\partial x_i} d\vec{r} = \left(\frac{eZ}{A} \right)^2 \iint n(\vec{r}) n(\vec{r}') \frac{(x_i - x'_i)(x_j - x'_j)}{|\vec{r} - \vec{r}'|^3} d\vec{r} d\vec{r}'$$

$$C_{i,jkl} = \frac{1}{3} \{ 2 [C_{ij,kl}]_{jkl} + C_{ik;j,l} + C_{il;j,k} + C_{ij;k,l} \},$$

$$2C_{ij,kl} = \left(\frac{eZ}{A} \right)^2 \iint n(\vec{r}) n(\vec{r}') x_k x'_l \frac{(x_i - x'_i)(x_j - x'_j)}{|\vec{r} - \vec{r}'|^3} d\vec{r} d\vec{r}'$$

$$2C_{ij;k,l} = \left(\frac{eZ}{A} \right)^2 \iint n(\vec{r}) n(\vec{r}') x_k x'_l \frac{(x_i - x'_i)(x_j - x'_j)}{|\vec{r} - \vec{r}'|^3} d\vec{r} d\vec{r}'$$

ПРИЛОЖЕНИЕ II

Вариация электрического гексадекапольного момента получается с помощью формулы /14/. Например,

$$\Gamma_{44}^{(1)} \equiv \delta Q_{44} = \frac{eZ}{A} \int (\delta n) r^4 Y_{44}(\theta, \phi) d\vec{r} = \frac{eZ}{A} \int n \sum_{s=1}^3 \xi_s \frac{\partial}{\partial x_s} (r^4 Y_{44}) d\vec{r} =$$

$$= \frac{Ze}{mA} \frac{3}{16} \sqrt{\frac{35}{2\pi}} [V_{1111} + V_{2222} - 6V_{1122} + 4i(V_{1112} - V_{1222})].$$

Здесь $V_{ijkl} = [V_{i,jkl}]_{ijkl}$. Неприводимые тензоры $\Gamma_{4\mu}^{(2)}$, $\Gamma_{4\mu}^{(3)}$ и $\Gamma_{4\mu}^{(4)}$ получаются из $\Gamma_{4\mu}^{(1)}$ заменой переменных V_{ijkl} на переменные $[\delta\Pi_{ij}^{kl}]_{ijkl}$, $[\delta\Pi_{ijk}^l]_{ijkl}$ и $\delta\Pi_{ijkl}$ соответственно.

Вариация магнитного октупольного момента ядра вычисляется аналогично $\delta Q_{4\mu}$. Например:

$$F_{33}^{(1)} \equiv \delta \mathcal{M}_{33} = \frac{eZ}{4Ac} \int (\delta n) \vec{\nabla} (r^3 Y_{3\mu}) \cdot [\vec{r} \times \vec{u}] d\vec{r} =$$

$$= - \frac{3eZ}{32A mc} \sqrt{\frac{35}{\pi}} [3\dot{V}_{3,112} - \dot{V}_{3,222} - \dot{V}_{2,113} + \dot{V}_{2,223} - 2\dot{V}_{1,123} +$$

$$+ i(3\dot{V}_{3,122} - \dot{V}_{3,111} - 2\dot{V}_{2,123} + \dot{V}_{1,113} - \dot{V}_{1,222})].$$

Неприводимые тензоры $F_{3\mu}^{(2)}$ и $F_{3\mu}^{(3)}$ получаются из $F_{3\mu}^{(1)}$ заменой переменных $V_{i,jkl}$ на переменные $\delta\Pi_{ij}^{kl}$ и $\delta\Pi_{ijk}^l$ соответственно.

Вариация электрического квадрупольного момента ядра вычисляется аналогично $\delta Q_{4\mu}$. Например,

$$B_{22}^{(1)} \equiv \delta Q_{22} = \frac{Ze}{4Am} \sqrt{\frac{15}{2\pi}} (V_{11} - V_{22} + 2iV_{12}).$$

Неприводимые тензоры $B_{2\mu}^{(2)}$, $B_{2\mu}^{(3)}$, $B_{2\mu}^{(4)}$, $B_{2\mu}^{(5)}$, $B_{2\mu}^{(6)}$, $B_{2\mu}^{(7)}$, $B_{2\mu}^{(8)}$ и $B_{2\mu}^{(9)}$ получаются из $B_{2\mu}^{(1)}$ заменой переменных V_{ij} на пере-

менные $\delta\Pi_{ij}$, $\frac{1}{R^2} \sum_{s=1}^3 [V_{1,jss}]_{ij}$, $\frac{1}{R^2} \sum_{s=1}^3 \delta\Pi_{ss}^{ij}$, $\frac{1}{R^2} \sum_{s=1}^3 [\delta\Pi_{is}^{js}]_{ij}$,

$$\frac{1}{R^2} \sum_{s=1}^3 \delta\Pi_{ij}^{ss}$$
, $\frac{1}{R^2} \sum_{s=1}^3 [\delta\Pi_{ssi}^j]_{ij}$, $\frac{1}{R^2} \sum_{s=1}^3 \delta\Pi_{ijs.s}$ и $\frac{1}{R^2} \sum_{s=1}^3 \delta\Pi_{ijss}$ соот-

ветственно.

ЛИТЕРАТУРА

1. Бальбуцев Е.Б., Вайшвила З., Михайлов И.Н. - ЯФ, 1982, т.35, с.836; т.36, с.1109.
2. Balbutsev E.B., Mikhailov I.N., Vaishvila Z. - Nucl.Phys., 1986, v.A457, p.222.
3. Balbutsev E.B., Mikhailov I.N. - J.Phys. G.: Nucl.Phys., 1988, v.14, p.545.
4. Da Providencia J.P., Holzwarth G. - Nucl.Phys, 1985, v.A439, p.477.
5. Kohl H., Schuck P., Stringari S. - Nucl.Phys., 1986, v.A459, p.265.
6. Коломиец В.М. - Изв. АН СССР, сер. физ., 1987, т.51, с.2006.
7. Liu K.F., Brown G.E. - Nucl. Phys., 1976, v.A265, p.385.
8. De Haro R., Krewald S., Speth S. - Nucl.Phys., 1982, A388, p.265.
9. Khodel V.A., Saperstein E.E. - Phys.Rep., 1982, v.92, p.185.
10. Чандрасекхар С. Эллипсоидальные фигуры равновесия. М.: Мир, 1973.
11. Бальбуцев Е.Б., Пиперова Й. - Препринт ОИЯИ Е4-88-886, Дубна, 1988.
12. Tassie L.J. - Austr. J. Phys., 1956, v.9, p.408.
13. Rosenkilde S.E. - J.Math.Phys., 1967, v.8, pp.84, 88, 98.
14. Chandrasekhar S. - Astr. J., 1968, v.152, p.293.
15. Balbutsev E.B., Mikhailov I.N., Di Toro M. - Europhys. Lett., 1988, v.6, p.317.
16. Варшалович Д.А., Москалев А.Н., Херсонский В.К. - Квантовая теория углового момента. Ленинград: Наука, 1975.
17. Савицкий Г.А. и др. - Вопр. ат.науки и техн. сер.общ. и яд. физ., 1986, вып.1(34), с.120.
18. Morsch H.-P. - J. de Phys., 1984, v.45, p.C4-185.
19. Bertrand F.E., Beene J.R., Sjoreen T.P. - J. de Phys., 1984, v.45, p.C4-99.
20. Buenerd M. - J. de Phys., 1984, v.45, p.C4-115.
21. Малов Л.А., Соловьев В.Г. - ЭЧАЯ, 1980, т.11, с.301.
22. Семенко С.Ф. - ЯФ, 1984, т.39, с.351.
23. Nix J.R., Sierk A.J. - Phys.Rev., 1980, v.C21, p.326.
24. Лейн А.М. - Теория ядра. М.: Атомиздат, 1967.
25. Sakai M., Rester A.C. - At.Data and Nucl. Data Tables, 1977, v.20, p.441.
26. Авотина М.П., Кондуков И.А., Сбитнева О.Н. - Таблицы ядерных моментов и параметров деформации атомных ядер. Л.: ЛИЯФ АН СССР, 1982.
27. Heisenberg J. et al. - Phys.Rev., 1984, v.C29, p.28.
28. Van der Bijl L.T. et al. - Nucl.Phys., 1983, v.A393, p.173.

29. Mariscotti M.A.J. et al. - Nucl.Phys., 1984, v.A407, p.98.
30. Scott A. et al. - Nucl.Phys., 1977, v.A285, p.222.
31. Oakley D.S., Smithson M.J. et al. - Phys.Rev., 1987, v.C35, p.1392.
32. Дубовик В.М., Чешков А.А. - ЭЧАЯ, 1974, т.5, № 3, с.792.
33. Семенко С.Ф. - ЯФ, 1981, т.34, с.639; Препринт ФИАН, Москва, 1986, № 76.

Рукопись поступила в издательский отдел
24 февраля 1989 года.